

УДК 537.525.99, 551.594.2

Лабораторное моделирование влияния вулканического вещества на формирование транзиентных явлений вблизи границы средней и нижней атмосферы

Э.А. Соснин^{1, 2}, В.С. Кузнецов¹, В.А. Панарин¹,
В.С. Скаун¹, В.Ф. Тарасенко^{1, 2*}

¹ Институт сильноточной электроники СО РАН
634055, г. Томск пр. Академический, 2/3

² Национальный исследовательский Томский государственный университет
634050, г. Томск, пр. Ленина, 36

Поступила в редакцию 13.11.2019 г.

Показано, что разогрев вулканического материала, взятого на вулкане Этна (Италия), апокампическим разрядом уменьшает напряжение, при котором от канала разряда стартует положительный стример — апокамп, и увеличивает скорость его распространения. По спектрам люминесценции видно, что эти процессы сопровождаются эмиссией легкоионизуемых K и Na, что согласуется с данными об элементном составе образцов Этны. На основе полученной информации предложена гипотеза о том, что в местах повышенной вулканической активности на высотах 10–18 км (на уровне тропосферы) вероятность появления голубых струй и стартеров повышается.

Ключевые слова: апокампический разряд, вулканическое вещество, голубая струя, транзиентные световые явления; apokampic discharge, volcanic matter, blue stream, transient light phenomena.

Введение

Транзиентные световые явления (в англ. научной литературе — *transient luminous events*), или транзиенты, — различные крупномасштабные светящиеся структуры, наблюдаемые в условиях повышенной электрической активности, характерной для гроз, штормов и ураганов в средней и верхней атмосфере Земли. К транзиентам средней атмосфера относят голубые струи, стартеры и красные спрайты. Голубые струи представляют собой «фонтаны» голубого и/или синего свечения, бьющего вверх с вершины грозового облака. Они возникают на средних высотах 12–18 км, достигают высот 40–45 км, распространяются в вертикальном направлении со скоростью 100–150 км/с и существуют 60–400 мс [1–4].

Транзиенты изучают, осуществляя наблюдения с поверхности Земли, с самолетов и из космоса, а также в экспериментах с лабораторными разрядами и с помощью теоретических моделей. Важно, что результаты лабораторных экспериментов можно сравнить с результатами натурных наблюдений и сформулировать новые гипотезы о развитии транзиентов, а их впоследствии учесть в теоретическом моделировании.

* Эдуард Анатольевич Соснин (badik@loi.hcei.tsc.ru);
Владимир Сергеевич Кузнецов (Robert_smith_93@mail.ru);
Виктор Александрович Панарин (Panarin@yandex.ru);
Виктор Семенович Скаун (Skakun54@bk.ru);
Виктор Федотович Тарасенко (VFT@loi.hcei.tsc.ru).

В последнее время в лабораторных исследований транзиентов средней атмосферы используют стримерные разряды [5–7]. Вводя в эксперимент тот или иной физический фактор, присутствующий в реальной атмосфере, можно постепенно уточнять наши представления о механизмах развития транзиентов. В настоящей работе мы предложили ввести в стримерный разряд вулканическое вещество и определить его влияние на инициирование и продвижение положительного стримера в условиях, по давлению воздуха близких к условиям инициирования голубых струй и стартеров в природе. При этом для получения стримера был использован апокампический разряд [8–14]. Он образуется в воздухе в открытом пространстве и имеет форму протяженной светящейся структуры (апокампа), ориентированной перпендикулярно месту изгиба канала высоковольтного импульсно-периодического разряда.

Выбор апокампического разряда обусловлен тем, что между ним и транзиентами средней атмосферы (голубыми струями и стартерами) существует шесть признаков сходства. В частности, и апокамп, и голубые струи обладают сходными по диапазону ($\lambda \approx 280$ –800 нм) и структуре максимумов спектрами люминесценции [12]; формируются только при положительной полярности напряжения; имеют сходную морфологию [13]. Самые длинные апокампы голубого цвета в экспериментах наблюдаются в диапазоне давлений 90–150 торр, примерно соответствующем высотам возникновения

и распространения голубых стартеров и струй (12–18 км). Кроме того, усредненные значения скоростей распространения стримерной части апокампа (180 км/с) по порядку величины совпадают со скоростями распространения голубых струй в атмосфере Земли [8, 9, 11, 13, 15].

Экспериментальная установка и методики исследований

Апокампы формировались в цилиндрической кварцевой колбе 1 внутренним диаметром 5,1 см и длиной 121 см на установке, показанной на рис. 1. В колбе размещали стальные электроды 2 и 3 ($d = 10$ мм), имеющие одинаковую форму: с углом вершины 15° и радиусом кривизны острия 70 мкм. Давление воздуха в колбе 1 в ходе экспериментов можно было регулировать в диапазоне от 760 до 0,1 торр. Электрод 3 имел емкостную развязку ($C_1 = 5$ пФ) с землей. На электрод 2 подавали импульсы напряжения положительной полярности от источника 4, который обеспечивал импульсы с амплитудой $U_p < 15$ кВ, частотой следования $3 < f < 58$ кГц и длительностью $\tau = 1,5$ мкс.

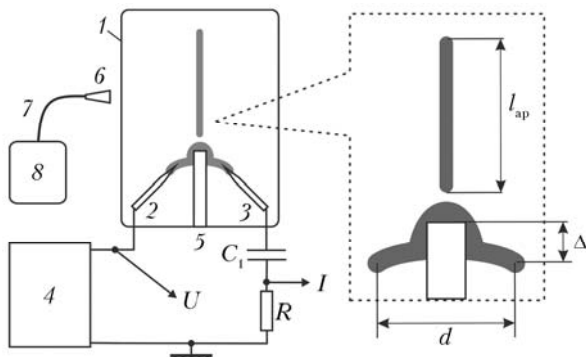


Рис. 1. Блок-схема экспериментальной установки: 1 – цилиндрическая кварцевая колба; 2 – высоковольтный электрод положительной полярности; 3 – электрод, имеющий емкостную развязку с землей; 4 – генератор импульсов напряжения; 5 – диэлектрическая пластинка; 6 – коллиматор; 7 – оптоволоконный световод; 8 – спектрофотометр

Между электродами была установлена пластинка 5 толщиной 5 мм, выступающая над электродами ($\Delta = 5$ мм), изготовленная из куска лавы, взятой в воронке вулкана Этна (Сицилия, Италия) в 2015 г. Использованные образцы лавы были диэлектриками в нормальных условиях и сохраняли диэлектрические свойства при подогреве. В ряде опытов для сравнения применялась аналогичная по геометрии и расположению пластинка, выполненная из кварца КУ-1.

С помощью делителя напряжения (на рис. 1 не показан) и токового шунта R осуществляли контроль напряжения U и тока I в цепи разряда.

Для регистрации спектра излучения использовали сборку из коллимирующей линзы 6 с фокусным расстоянием 30 мм, оптоволокна 7 с известным спектром пропускания и спектрометром 8 HR2000+ES

(Ocean Optics, Inc.) на основе многоканальной ПЗС-линейки Sony ILX511B (рабочий диапазон 200–1100 нм, спектральная полуширина аппаратной функции ~1,33 нм). Фотографировали апокамп в различных условиях фотоаппаратом Canon PowerShot SX60 HS в режиме покадровой съемки либо в режиме с накоплением импульсов вплоть до 5 с.

Установка работает следующим образом. Импульсы напряжения от генератора 4 подаются на высоковольтный электрод 2. При амплитуде импульсов напряжения несколько кВ и снижении давления воздуха в камере 4 происходит пробой разрядного промежутка между острыми электродами 2 и 3. Разряд огибает пластинку 5, вызывает ее разогрев и высвобождение содержащихся в ней легкоплавких веществ. При этом цвет свечения разряда изменяется. С увеличением напряжения на электроде 2 импульсный разряд переходит в апокампический. От места изгиба канала разряда в каждом из импульсов стартуют стримеры, которые приводят к формированию апокампа длиной l_{ap} . Апокамп, как уже упоминалось, образуется на месте изгиба канала разряда на краю пластинки 5. В эксперименте фиксировались электрофизические параметры, при которых возникает апокамп: спектр излучения, длина и внешний вид разряда.

Результаты и обсуждение

При высоких давлениях воздуха в камере пластинка между электродами препятствует пробою разрядного промежутка даже при напряжении 15 кВ. Снижая давление воздуха (при фиксированном напряжении), можно получить пробой промежутка и зажигание обычного импульсного разряда. Если после этого увеличить напряжение на электроде 2, то разряд становится апокампическим. На рис. 2 показан внешний вид апокампического разряда, полученный при давлении 480 торр и амплитуде импульсов напряжения $U_p = 8,9$ кВ.

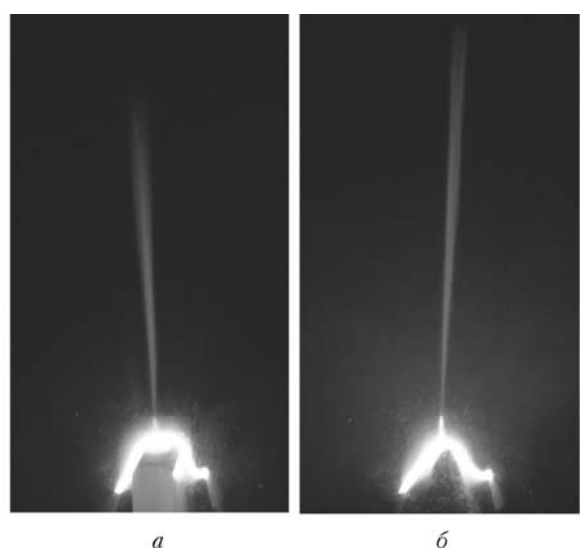


Рис. 2. Внешний вид апокампического разряда, ограниченного пластинкой: а – из кварца; б – вулканического материала; высота кадра 6,2 см, выдержка 1/8 с

В случае кварцевой пластиинки длина апокампа составляет 3,6 см, а в случае пластиинки из лавы — 5 см (выше на 28%). Дисперсия величины l_{ap} в этом опыте составила 5%, т.е. отличия являются значимыми. Кроме того, выяснилось, что для перехода от импульсного разряда к апокамлическому в случае кварцевой пластиинки необходимы амплитуды напряжения на 0,5–1,5 кВ выше, чем в случае пластиинки из лавы (на рис. 3 значения U_p одинаковы, что сделано для сравнения величин l_{ap} в одинаковых условиях). Аналогичные отличия имеют место при зажигании апокамлического разряда при меньших давлениях воздуха (вплоть до 130 торр), примерно соответствующих высотам возникновения голубых струй в природе.

На рис. 3 представлен спектр излучения в середине апокампа при давлении воздуха 485 торр. В момент зажигания он содержит только полосы молекулярного азота ($C^3\Pi_u \rightarrow B^3\Pi_g$) и его иона ($B^2\Sigma_u^+ \rightarrow X^2\Sigma_g^+$). Известно, что для получения $N_2^+(B^2\Sigma_u^+)$ необходимы средние энергии электронов в несколько эВ [16]. Этой энергии будет достаточно для ионизации некоторых веществ в области разряда. Такие вещества может поставлять разогретая лавовая пластиинка, помещенная в разряд.

Известно, что химический состав лавы и пепла вулкана Этны характеризуется пониженным (по сравнению с порфировыми трахибазальтами) содержанием групп CaO, MgO, общим количеством Fe и увеличенной долей SiO₂, K₂O, Na₂O и часто Al₂O₃ [17]. Рентгенофлуоресцентный анализ пепла Этны после последних пепловых извержений, проведенный в 2017 г. [18], выявил достаточно высокую среднюю долю оксидов Na₂O и K₂O в образцах (~3,8 и 1,9% соответственно). Потенциалы ионизации Na (5,14 эВ) и K (4,34 эВ) — самые низкие по сравнению с другими элементами, входящими в состав пепловых оксидов (SiO₂, TiO₂, Al₂O₃, Fe₂O₃, MnO, MgO, CaO). С учетом этого ожидаемым результатом эксперимента было появление в спектре апокампа и быстрое увеличение интенсив-

ности линий (за несколько секунд после зажигания апокамлического разряда) Na I (588,9 нм), K I (766,4; 769,8 нм). То есть указанная эмиссия обусловлена разогревом лавовой пластиинки и выделением легко ионизуемых элементов, входящих в ее состав. Замена лавовой пластиинки на кварцевую убирает из спектра обозначенные линии. Кроме того, при установке лавовой пластиинки в спектре наблюдаются низкоинтенсивные линии O I (771,1; 777,4; 777,5 нм).

Из проведенных измерений следует, что наличие в зоне разряда вулканического материала и выделение из него легкоионизуемых элементов: 1) уменьшает напряжение, при котором от канала разряда стартует положительный стример — апокамп; 2) увеличивает скорость распространения разряда, поскольку увеличивается длина апокампа.

Обсудим вопрос о возможном влиянии вулканической активности на появление голубых струй в природе. Две трети вулканов находятся в Северном полушарии и ~85% из них расположены севернее 10° ю.ш. До уровня тропосферы и выше выбрасывают пепел только вулканы, имеющие индекс вулканической активности VEI > 3 [19]. Между 20° с.ш. и 10° ю.ш. находится большое скопление вулканов, известных своими плинианскими извержениями (VEI = 5), что означает периодический выброс огромного количества газов и пепла в атмосферу вблизи экватора [20]. При этом высота, на которую поднимается пепел, составляет от 11 км до 45 км. В сухих газопепловых облаках над вулканами отмечается самая высокая для атмосферных процессов интенсивность разделения электрических зарядов, связанная прежде всего с тем, что в области пеплового столба вверх поднимаются положительно заряженные стущенные вулканические газы, а падающие частицы золы заряжены отрицательно. В результате при таких извержениях регистрируются как частые крупные молнии «воздух – земля» (так называемые грязные молнии), так и более частые мелкие разряды, а также коронные разряды;

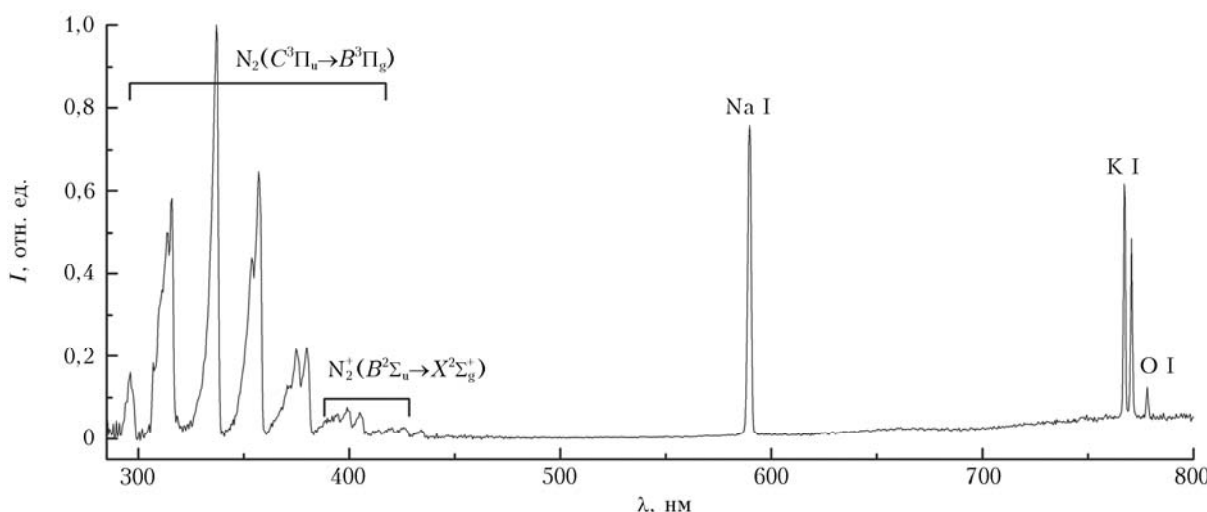


Рис. 3. Спектр излучения апокампа в случае пластиинки из лавы; $U_p = 9$ кВ, $p = 485$ торр

верхняя часть пеплового облака на стадии формирования имеет избыточный положительный заряд. В условиях нашего опыта апокампы стартуют от положительно заряженного канала импульсного разряда.

Известно, что голубые струи и стартеры возникают только над очень активными грозовыми облаками с частотой следования молний до нескольких вспышек в секунду. Старт голубых струй в природе происходит от заряженных зон после того, как внутри них или между ними и землей происходят разряды [21]. Поэтому электрические условия в вулканическом столбе можно рассматривать как способствующие развитию голубых струй и стартеров. Кроме того, как показал наш эксперимент, важен и состав пепла в облаке: легкоионизуемые компоненты пепла, попадая на высоты 12–18 км, могут облегчать как старт, так и распространение положительных стримеров. Следует отметить, что соединения, содержащие легкоионизуемые металлы, характеризуют не только выбросы вулкана Этна и встречаются повсеместно [22–24].

Таким образом, на основании проведенных экспериментов и анализа литературы можно сформулировать следующую гипотезу: вероятность появления голубых струй и стартеров увеличивается в местах повышенной вулканической активности на высотах 10–18 км (за границей тропосферы), что связано с наличием легкоионизуемых добавок в составе вулканических выбросов.

В дальнейшем, чтобы подтвердить или опровергнуть этот тезис, необходимо провести масштабные наблюдения голубых струй и стартеров в зонах с индексом вулканической активности VEI > 3. Пока этому мешает недостаточная чувствительность применяемой на спутниках спектральной аппаратуры. Например, бортовая система спутника FORMOSAT-2 фиксирует масштабные транзиенты — эльфы, спрайты и гигантские голубые струи, но не фиксирует голубые струи и стартеры. Но даже для указанных транзиентов, принимая во внимание чувствительность инструментального обнаружения и ограниченную область обзора, количество транзиентов оказывается заниженным в 2–10 раз [25].

С другой стороны, можно провести новые исследования, зажигая апокампический разряд в воздухе в диапазоне давлений, отвечающем диапазону высот появления голубых струй в природе, в присутствии вулканического вещества, и изучить влияние дополнительных факторов, например температуры воздуха. Повышение температуры пепловых частиц до ~1200 К может запустить механизм термоэмиссии электронов с их поверхности. Понять, как это влияет на формирование апокампа, можно будет непосредственно в лабораторных условиях.

Заключение

Традиционно считается, что выбросы вулканического пепла оказывают существенное влияние на разделение зарядов в атмосфере над вулканом,

инициируя так называемые грязные молнии. В настоящей работе исследовано возможное влияние вулканического материала на формирование таких транзиентов средней атмосферы, как голубые струи и стартеры. Для этого использован лабораторный аналог голубых струй — апокампический разряд [10, 14]. С его помощью показано, что разогрев апокампическим разрядом вулканического материала уменьшает напряжение, при котором от канала разряда стартует апокамп, и увеличивает скорость его распространения. Этот эффект имеет место только при наличии в зоне разряда пластинки из вулканического материала и связан с выделением легкоионизуемых элементов, входящих в ее состав. Мы предполагаем, что на вершинах пепловых облаков или штормовых облаков, содержащих пепловый материал, формирование голубых стартеров облегчается. Для проверки этой гипотезы необходимо проведение дополнительных лабораторных экспериментов, а также новая серия натурных наблюдений за развитием электрических процессов вблизи границы средней и нижней атмосферы.

Авторы благодарят за помощь в работе Д.С. Печеницина. Работа выполнена в рамках государственного задания ИСЭ СО РАН по теме № 13.1.4 и гранта РФФИ № 19-32-90023.

1. Mishin E.V. Milikh G.M. Blue jets: Upward lightning // Space Sci. Rev. 2008. V. 137, N 4. P. 473–488.
2. Siingh D., Singh R.P., Kumar S., Dharmaraj T., Singh A.K., Patil M.N., Singh Sh. Lightning and middle atmospheric discharges in the atmosphere // J. Atmos. Sol.-Terr. Phys. 2015. V. 134, N 11. P. 78–101.
3. Донченко В.А., Кабанов М.В., Кауль Б.В., Нагорский П.М., Самохвалов И.В. Электрооптические явления в атмосфере: учебное пособие. Томск: Изд-во НТЛ, 2015. 316 с.
4. Бекряев В.И. Молнии, спрайты и джеты. СПб.: Изд-во РГГМУ, 2009. 96 с.
5. Pancheshnyi S., Nudnova M., Starikovskii A. Development of a cathode-directed streamer discharge in air at different pressures: Experiment and comparison with direct numerical simulation // Phys. Rev. E. 2005. V. 71, N 1. P. 016407.
6. Стриковский А.В., Евтушенко А.А., Гущин М.Е., Коробков С.В., Костров А.В. Импульсный высоковольтный разряд в воздухе с градиентом давления // Физика плазмы. 2017. Т. 43, № 10. С. 866–873.
7. Opaits D.F., Schneider M.N., Howard P.J., Miles R.B., Milikh G.M. Study of streamers in gradient density air: Table top modeling of red sprites // Geophys. Res. Lett. 2010. V. 37, N 14. L14801.
8. Sosnin E.A., Naidis G.V., Tarasenko V.S., Skakun V.S., Panarin V.A., Babaeva N.A., Baksh E.Kh., Kuznetsov V.S. Apokamps produced by repetitive discharges in air // Phys. Plasm. 2018. V. 25, N 8. P. 083513.
9. Sosnin E.A., Panarin V.A., Skakun V.S., Baksh E.Kh., Tarasenko V.F. Dynamics of apokamp-type atmospheric pressure plasma jets // Eur. Phys. J. D. 2017. V. 71, N 2. P. 25.
10. Соснин Э.А., Найдис Г.В., Тарасенко В.Ф., Скаун В.С., Панарин В.А., Баева Н.Ю. О физической природе апокампического разряда // ЖЭТФ. 2017. Т. 152, № 5. С. 1081–1087.
11. Соснин Э.А., Панарин А.А., Скаун В.С., Тарасенко В.Ф. Моделирование голубых струй и спрайтов с помощью апокампа, формируемого при пониженных

- давлениях воздуха // Оптика атмосф. и океана. 2016. Т. 29, № 10. С. 855–858.
12. Соснин Э.А., Найдис Г.В., Тарасенко В.Ф., Бабаева Н.Ю., Панарин В.А., Скакун В.С. Соотношение интенсивностей полос 2Р и 1Р молекулярного азота в условиях апокампического разряда при различных давлениях воздуха // Оптика атмосф. и океана. 2018. Т. 31, № 10. С. 794–797.
 13. Соснин Э.А., Бакшт Е.Х., Кузнецов В.С., Панарин В.А., Скакун В.С., Тарасенко В.Ф. Лабораторное моделирование голубых струй с помощью апокампического разряда в герцовом диапазоне частот // Оптика атмосф. и океана. 2019. Т. 32, № 7. С. 585–590; Sosnin E.A., Baksh E.Kh., Kuznetsov V.S., Panarin V.A., Skakun V.S., Tarasenko V.F. Laboratory simulation of blue jets with apokampic discharge in the Hz frequency range // Atmos. Ocean. Opt. 2019. V. 32, N 6. P. 710–715.
 14. Соснин Э.А., Панарин В.А., Скакун В.С., Тарасенко В.Ф., Козырев А.В., Кожевников В.Ю., Ситников А.Г., Коковин А.О., Кузнецов В.С. Апокампический разряд: условия образования и механизмы формирования // Изв. вузов. Физика. 2019. Т. 62, № 7. С. 182–189.
 15. Панарин В.А., Скакун В.С., Соснин Э.А., Тарасенко В.Ф. Лабораторная демонстрация в воздухе красных и голубых диффузных мини-струй // Оптика атмосф. и океана. 2017. Т. 30, № 3. С. 243–252.
 16. Kozlov K., Wagner H., Brandenburg R., Michel P.J. Spatio-temporally resolved spectroscopic diagnostics of the barrier discharge in air at atmospheric pressure // J. Phys. D. 2001. V. 34, № 21. P. 3164–3176.
 17. Tanguy J.C. Contributions to mineralogy and petrology tholeiitic basalt magmatism of Mount Etna and its relations with the alkaline series // Contrib. Mineral. Petrol. 1978. V. 66, № 1. P. 51–67.
 18. Horwell C.J., Sargent P., Andronic D., Lo Castro M.D., Tomatis M., Hillman S.E., Michnowicz S.A.K., Fubini B. The iron-catalysed surface reactivity and health-pertinent physical characteristics of explosive volcanic ash from Mt. Etna, Italy // J. Appl. Volcanology. 2017. V. 6, № 1. 16 p.
 19. Newhall C.A., Self S. The volcanic explosivity index (VEI): An estimate of the explosive magnitude for historical volcanism // J. Geophys. Res. 1982. V. 87, iss. C2. P. 1231–1238.
 20. Руководство по облакам вулканического пепла, радиоактивных материалов и токсических химических веществ. Doc. 9691 AN/954. Изд. 2. Международная организация гражданской авиации, 2007. 202 с.
 21. Chanrion O., Neubert T., Mogensen A., Yair Y., Stendel M., Singh R., Siingh D. Profuse activity of blue electrical discharges at the tops of thunderstorms // Geophys. Res. Lett. 2017. V. 44, N 1. P. 496–503.
 22. Large Igneous Provinces: Continental, Oceanic, and Planetary Flood Volcanism. Geophysical Monograph / eds. J.J. Mahoney, M.F. Coffin. Washington, D.C.: American Geophysical Union, 1997. 438 p.
 23. Manual on Volcanic Ash, Radioactive Material and Toxic Chemical Clouds. Doc 9691 AN/954. International Civil Aviation Organization, 2007. 162 p.
 24. Akiko Goto A., Horie T., Ohba T., Fujimaki H. XRF analysis of major and trace elements for wide compositional ranges from silicate rocks to carbonate rocks using low dilution glass beads // Japan. Magaz. Mineralog. Petrolog. Sci. 2008. V. 31, N 3. P. 162–173.
 25. Chen A.B., Kuo Ch.-L., Lee Y.-J., Su H.-T., Hsu R.-R., Chern J.-L., Frey H.U., Mende S.B., Takahashi Y., Fukunishi H., Chang Y.-Sh., Liu T.-Y., Lee L.-Ch. Global distributions and occurrence rates of transient luminous events // J. Geophys. Res. 2008. V. 113, N A08. P. A08306.

E.A. Sosnin, V.S. Kuznetsov, V.A. Panarin, V.S. Skakun, V.F. Tarasenko. Laboratory modeling of the influence of volcanic matter on the formation of transient phenomena near the boundary between the middle and lower atmosphere.

It was shown that heating of the volcanic material taken on the Etna volcano (Italy) by apokampic discharge reduces the voltage at which a positive streamer, the apokamp, starts from the discharge channel and increases its propagation speed. The luminescence spectra show that these processes are accompanied by the emission of easily ionizable K and Na, which is consistent with data on the elemental composition of Etna samples. Based on the data obtained, a hypothesis is proposed that in places of increased volcanic activity at altitudes of 10–18 km (at the level of the troposphere), the appearance probability of blue jets and starters increases.